# 杨梅醇与 5-对氟苄氧基杨梅醇的制备及其对人肝癌 $HepG_2$ 细胞活性的影响

童晔玲,戴关海\*,任泽明,陈璇,聂晓静,杨锋(浙江省中医药研究院,杭州 310007)

摘要:目的 体外观察杨梅醇与 5-对氟苄氧基杨梅醇(myricanol 5-fluorobenzyloxy ether, 5FEM)对人肝癌细胞  $HepG_2$ 活性的影响。方法 制备杨梅醇与 5FEM,杨梅醇(25,12.5,6.25  $\mu g \cdot mL^{-1}$ )、5FEM(25,12.5,6.25  $\mu g \cdot mL^{-1}$ )作用于  $HepG_2$ 细胞,实时细胞分析系统记录 96 h 细胞指数,观察杨梅醇与 5FEM 对  $HepG_2$ 细胞增殖和迁移的影响。结果 杨梅醇与 5FEM 对  $HepG_2$ 细胞的增殖和迁移均有较好的抑制作用,且呈现较好的量效关系,相等剂量下,5FEM 的作用优于杨梅醇。结论 杨梅醇与 5FEM 能有效抑制  $HepG_2$ 细胞的增殖和迁移。

关键词:杨梅醇;5-对氟苄氧基杨梅醇;人肝癌 HepG2细胞;细胞增殖;细胞迁移

中图分类号: R285.4 文献标志码: A 文章编号: 1007-7693(2018)03-0375-04

**DOI:** 10.13748/j.cnki.issn1007-7693.2018.03.014

引用本文: 童晔玲, 戴关海, 任泽明, 等. 杨梅醇与 5-对氟苄氧基杨梅醇的制备及其对人肝癌 HepG2 细胞活性的影响[J]. 中国现代应用药学, 2018, 35(3): 375-378.

# Preparation of Myricanol and Myricanol 5-fluorobenzyloxy Ether and its Effect on the Activity of HepG<sub>2</sub> Cells

TONG Yeling, DAI Guanhai\*, REN Zeming, CHEN Xuan, NIE Xiaojing, YANG Feng(Zhejiang Institute of Traditional Chinese Medicine, Hangzhou 310007, China)

**ABSTRACT: OBJECTIVE** To observe the activity of myricanol and myricanol 5-fluorobenzyloxy ether (5FEM) on liver cancer of cell  $\text{HepG}_2$  in vitro. **METHODS** Myricanol (25, 12.5 and 6.25  $\mu \text{g} \cdot \text{mL}^{-1}$ ) and 5FEM (25, 12.5 and 6.25  $\mu \text{g} \cdot \text{mL}^{-1}$ ) were prepared to act on  $\text{HepG}_2$  cells, real time cellular analysis was used to record 96 h cell index (CI) to observe the effect of Myricanol and 5FEM on the proliferation and migration of  $\text{HepG}_2$  cells. **RESULTS** Myricanol and 5FEM could inhibit the proliferation and migration of  $\text{HepG}_2$  cells, showing a dose-effect curve. The effect of 5FEM was better than myricanol at the same dose. **CONCLUSION** Myricanol and 5FEM can effectively inhibit the proliferation and migration of  $\text{HepG}_2$  cells.

KEY WORDS: myricanol; myricanol 5-fluorobenzyloxy ether; HepG<sub>2</sub> cell; proliferation; migration

杨梅(Myrica rubra Sieb.et Zucc)系杨梅科杨梅属植物,有较好的药用和食用价值。杨梅树皮味苦、性温,含有黄酮类、环状二芳基庚烷类、单宁类、三萜类等多种化合物<sup>[1]</sup>,具有抗病毒、抗菌、抗氧化、抗炎、抗肿瘤等活性<sup>[2-5]</sup>。杨梅醇是从杨梅树皮中提取的环状二芳基庚烷类化合物,笔者前期研究发现杨梅醇具有显著的抗肿瘤活性,对人肺腺瘤A549、人早幼粒白血病 HL-60、人肝癌 HepG<sub>2</sub>细胞均有较好的抑制作用<sup>[6-7]</sup>。现将结构修饰后的5-对氟苄氧基杨梅醇(myricanol5-fluorobenzyloxy ether,5FEM)与杨梅醇的抗 HepG<sub>2</sub>活性进行比较。

# 1 材料

#### 1.1 药物

杨梅醇与 5FEM 均为本实验室制备;杨梅醇

对照品(云南西力生物技术有限公司,批号:BBP01843;纯度:98%)。

#### 1.2 细胞株

人肝癌  $HepG_2$  细胞(中国科学院细胞库),本实验室液氮保存。

# 1.3 试剂

RPMI-1640 培养液(吉诺生物医药技术有限公司,批号: 16011505); 胎牛血清(浙江天杭生物科技股份有限公司,批号: 20160323); 0.25%胰蛋白酶(含 0.02%EDTA, 吉诺生物医药技术有限公司,批号: 2016062902); PBS(吉诺生物医药技术有限公司,批号: 2016061304); 0.4%台盼蓝(Sigma 公司,批号: 20151025); 甲苯、无水乙醇、石油醚、碳酸钾( $K_2CO_3$ )、丙酮、氯仿( $CHCl_3$ )、碳酸铯

作者简介: 童晔玲,女,硕士,副研究员 Tel: (0571)88849082 E-mail: tongyeling@sina.com \*通信作者: 戴关海,男,硕士,研 3.com Tel: (0571)88849082 E-mail: 13989494472@163.com

基金项目: 浙江省科技计划项目(2015F10015、2013F50020、2017C33169)

(Cs<sub>2</sub>CO<sub>3</sub>)、氢氧化钠(NaOH)、二氯甲烷(DCM)、二甲基亚砜(DMSO)、盐酸、无水硫酸镁、丙酮等均为分析纯,由汇普化工仪器有限公司提供。

# 1.4 仪器

RE2000A 型旋转式减压蒸发仪(成都市蜀华西部科技中心有限公司); Centrifuge 5810R 低温离心机(Eppendorf 公司); BS210S 电子天平(Sartorius公司); 层析柱(江苏建湖玻璃有限公司); SKB-III型水泵(河南太康科教器材厂); Waters H-class超高效液相色谱仪(美国 Waters 公司); 核磁氢谱分析仪: Varian AS 400 FT-NMR specctrometer (400.13 MHz, 美国 Varian); 3111 型 CO<sub>2</sub> 培养箱(Thermo公司); HR40-II-A2 型医用净化工作台(青岛海尔特种电器有限公司); CK40-F200 型倒置显微镜(日本 OLYMPUS 公司); xCELLigence RTCA DP 多功能实时无标记细胞分析仪、E-Plate 16(批号:20160310)、CIM-Plate 16 检测板(批号:20160308)均来自艾森生物(杭州)有限公司;超低温冰箱(Thermo公司); TC-20 细胞计数仪(Bio-Rad公司)。

# 2 方法

# 2.1 杨梅醇的制备

取干燥清洁的杨梅树皮药材 1 000 g, 剪碎, 置于蒸馏烧瓶中,加 3 000 mL 的 80%乙醇,80 ℃ 水浴回流提取 2 次,每次 2 h,合并 2 次提取液, 过滤,滤液减压浓缩,回收乙醇,干燥,得醇提 物,醇提物加水热溶后,依次用 1.6 倍量石油醚、 氯仿各萃取 2 次,合并各萃取液,分别于旋转蒸 发仪上 80 ℃回收溶剂,真空减压干燥至恒重,得 氯仿萃取物,再用凝胶柱结合用 TLC、UPLC 分离 得到杨梅醇。

# 2.2 5FEM 的制备

在圆底烧瓶中加入杨梅醇 0.05 g,溶于 5 mL 丙酮中,搅拌溶解,加入  $K_2CO_3$  0.063 g,搅拌 1 h后,加入 4-氟苄溴 0.085 g,避光、室温下反应。TLC 检测反应至杨梅醇点消失。将得到的反应液用旋转蒸发仪蒸去溶剂,加入 0.1 g 硅胶拌样。取 300~400 目硅胶装柱,压实后用石油醚压柱 3 次,将拌好的样品用刮刀刮出(尽量刮净),装样。用石油醚-乙酸乙酯(3:1)做层析液,连续收集层析液,点板确定所含产品的纯度,收集层析液,合并,旋干。旋干后得到的黄色固体即为 5FEM。

# 2.3 细胞培养

人肝癌 HepG<sub>2</sub>细胞用含 10%胎牛血清的 1640

培养液,置 37  $\mathbb{C}$ 、5%  $CO_2$ 培养箱中培养,取对数生长期的细胞用台盼蓝染色,检测细胞存活率  $\geq$ 95%,即可用于实验。

#### 2.4 细胞形态学观察

倒置显微镜观察经杨梅醇与 5FEM 作用后的 细胞形态学改变。

**2.5** 实时细胞分析系统检测杨梅醇与 5FEM 对 HepG<sub>2</sub>细胞增殖的影响

取对数生长期的 HepG<sub>2</sub> 细胞,胰酶消化后制成单细胞悬液,调整细胞浓度为  $5\times10^4\cdot\text{mL}^{-1}$ ,先在 E-Plate 板上每孔放入 50  $\mu$ L 培养基测基线,随后加入 100  $\mu$ L 细胞悬液,置 37 °C、5% CO<sub>2</sub> 培养箱中培养 24 h,记录细胞指数(cell index,CI)。24 h 后加入杨梅醇(25,12.5,6.25  $\mu$ g·mL<sup>-1</sup>)和 5FEM(25,12.5,6.25  $\mu$ g·mL<sup>-1</sup>),同时设正常对照组、5-FU 10  $\mu$ g·mL<sup>-1</sup>组,每组设 3 复孔,继续培养 72 h,记录 CI 值。

**2.6** 实时细胞分析系统检测杨梅醇与 5FEM 对 HepG<sub>2</sub>细胞迁移的影响

取对数生长期的  $HepG_2$  细胞,胰酶消化后制成单细胞悬液,调整细胞浓度为  $4\times10^5 \cdot mL^{-1}$ ,先在 CIM-Plate 板下室每孔放入  $165~\mu L$  含血清培养基,随后装配上室后加入  $30~\mu L$  无血清培养基测基线,再加入  $100~\mu L$  无血清细胞悬液,置 37~C~5%  $CO_2$  培养箱中培养 24~h,记录 CI 值。 24~h 后加入杨梅醇( $25~,12.5~,6.25~\mu g \cdot mL^{-1}$ ),同时设正常对照组、 $5~FU~10~\mu g \cdot mL^{-1}$ 组,每组设 3~ 复孔,继续培养 72~h,记录 CI 值。

# 2.7 统计学方法

各组数据用 $\bar{x} \pm s$ 表示,多组间均数比较采用方差分析,所有数据均由 SPSS 17.0 统计软件进行处理,P < 0.05 为差异具有统计学意义。

## 3 结果

## 3.1 杨梅醇与 5FEM 的制备

分离得到杨梅醇的纯度为 98.2%, 5FEM 为 0.057 g, 5FEM 核磁氢谱图见图 1。

# 3.2 细胞形态学观察

细胞经杨梅醇与 5FEM 处理 48 h 后,镜下均可见细胞由贴壁不同程度脱落,光镜下见细胞变圆,体积缩小,细胞质内可见较多颗粒,并出现片状无细胞生长区。对照组细胞呈多角形,贴壁生长,几乎无脱落,光镜下见细胞完整,胞质饱满,相邻细胞生长融合成片。结果见图 2。

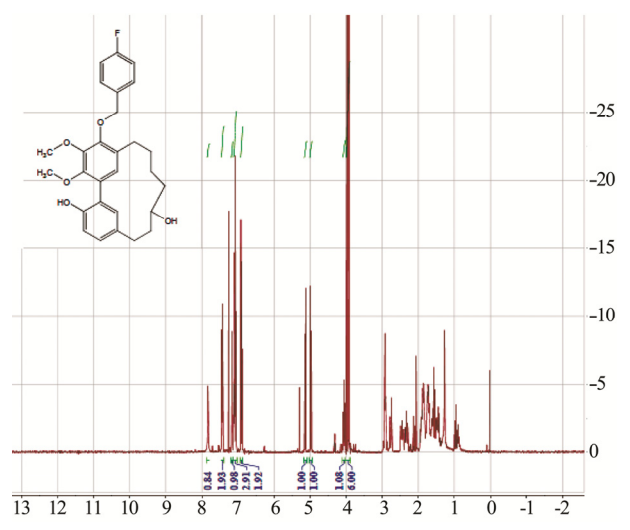


图 1 5FEM 核磁氢谱图

Fig. 1 5FEM nuclear magnetic spectrum



图 2 细胞形态学观察(100×)

A-对照组; B-杨梅醇 12.5 μg·mL<sup>-1</sup>; C-5FEM 12.5 μg·mL<sup>-1</sup>。

**Fig. 2** Cell morphological observation( $100 \times$ ) A-control group; B-myricanol group( $12.5~\mu g \cdot m L^{-1}$ ); C-5FEM group ( $12.5~\mu g \cdot m L^{-1}$ ).

**3.3** 杨梅醇与 5FEM 对  $HepG_2$  细胞增殖的影响 给药后,杨梅醇(25, 12.5, 6.25  $\mu g \cdot mL^{-1}$ )、 5FEM(25, 12.5, 6.25  $\mu g \cdot mL^{-1}$ )组的 CI 值均低于正常对照组,且呈剂量相关性。结果见图 3。

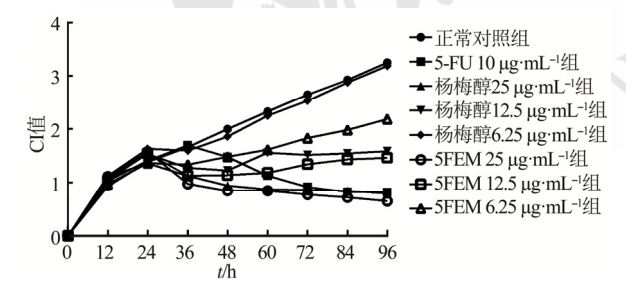


图 3 杨梅醇和 5FEM 对 HepG<sub>2</sub>细胞增殖的影响

Fig. 3 The effect of myricanol and 5FEM on cell proliferation

给药后 24, 48 h, 与正常对照组相比,杨梅醇(25,12.5  $\mu$ g·mL<sup>-1</sup>)、5FEM(25,12.5,6.25  $\mu$ g·mL<sup>-1</sup>)组的 CI 值均显著减低(P<0.01)。与 5-FU 组相比,杨梅醇(25,12.5  $\mu$ g·mL<sup>-1</sup>)和 5FEM(25,12.5  $\mu$ g·mL<sup>-1</sup>)的 24 h CI 值明显降低(P<0.01);杨梅醇 25  $\mu$ g·mL<sup>-1</sup>组的 48 h CI 值显著降低(P<0.01)。结果见表 1。

**3.4** 杨梅醇与 5FEM 对  $HepG_2$  细胞迁移的影响 给药后,杨梅醇(25, 12.5, 6.25  $\mu g \cdot mL^{-1}$ )、

5FEM(25, 12.5, 6.25  $\mu$ g·mL<sup>-1</sup>)组的 CI 值均低于正常对照组,且呈剂量相关性。结果见图 4。

表 1 杨梅醇和 5FEM 对 HepG<sub>2</sub>细胞增殖的影响(n=3,  $\overline{x} \pm s$ ) **Tab.** 1 The effect of myricanol and 5FEM on cell proliferation(n=3,  $\overline{x} \pm s$ )

组别	浓度/	CI 值		
	$\mu g \cdot mL^{-1}$	给药后 24 h	给药后 48 h	
正常对照组	-	2.014±0.012	2.660±0.011	
5-FU 组	10	1.475±0.011 <sup>1)</sup>	$0.911\pm0.006^{1)}$	
杨梅醇组	25	$0.945\pm0.004^{1)2)}$	$0.855\pm0.006^{1)2)}$	
	12.5	$1.237\pm0.014^{1)2)}$	$1.522\pm0.004^{1)2}$	
	6.25	1.873±0.035 <sup>2)</sup>	$2.538\pm0.008^{1)2)}$	
5FEM 组	25	$0.850\pm0.001^{1)2)}$	$0.844\pm0.003^{1)2)}$	
	12.5	$1.142\pm0.004^{1)2)}$	$1.346\pm0.001^{1)2)}$	
	6.25	$1.492\pm0.006^{1)}$	$1.841\pm0.005^{1)2)}$	

注:与正常对照组相比, $^{1)}P<0.01$ ;与 5-FU 组相比, $^{2)}P<0.01$ 。Note: Compared with control group, $^{1)}P<0.01$ ; compared with 5-FU group, $^{2)}P<0.01$ .

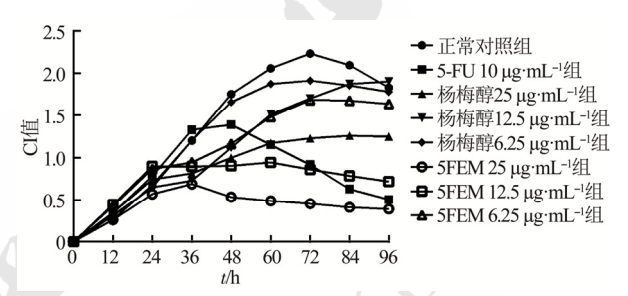


图 4 杨梅醇和 5FEM 对 HepG<sub>2</sub>细胞迁移的影响

Fig. 4 The effect of Myricanol and 5FEM on cell migration

给药后 24, 48 h,与正常对照组相比,杨梅醇(25,12.5  $\mu$ g·mL<sup>-1</sup>)、5FEM(25,12.5,6.25  $\mu$ g·mL<sup>-1</sup>)组的 CI 值显著减低(P<0.01)。与 5-FU 组相比,杨梅醇 (25,12.5  $\mu$ g·mL<sup>-1</sup>)和 5FEM(25,12.5,6.25  $\mu$ g·mL<sup>-1</sup>)的 24 h CI 值明显降低(P<0.01);杨梅醇 25  $\mu$ g·mL<sup>-1</sup>和 5FEM(25,12.5  $\mu$ g·mL<sup>-1</sup>)的 48 h CI 值显著降低(P<0.01)。结果见表 2。

表 2 杨梅醇和 5FEM 对  $HepG_2$  细胞迁移的影响(n=3)

**Tab. 2** The effect of myricanol and 5FEM on cell migration(n=3)

组别	浓度/	CI 值	
	$\mu g \cdot mL^{-1}$	给药后 24 h	给药后 48 h
正常对照组	-	1.782±0.024	2.238±0.004
5-FU 组	10	$1.381\pm0.013^{1)2)}$	$0.908\pm0.011^{1)2)}$
杨梅醇组	25	$1.011\pm0.009^{1)2)}$	$1.234\pm0.003^{1)2)}$
	12.5	$1.146\pm0.022^{1)2)}$	$1.710\pm0.008^{1)2)}$
5FEM 组	6.25	$1.659\pm0.003^{2)}$	$1.918\pm0.008^{1)2)}$
	25	$0.535\pm0.003^{1)2)}$	$0.456\pm0.003^{1)2)}$
	12.5	$0.909\pm0.003^{1)2)}$	$0.858\pm0.006^{1)3}$
	6.25	$1.177 \pm 0.010^{1)2}$	$1.700\pm0.014^{1)2)}$

注: 与正常对照组相比, $^{1}$ P<0.01; 与 5-FU 组相比, $^{2}$ P<0.01,  $^{3}$ P<0.05。 Note: Compared with control group,  $^{1}$ P<0.01; compared with 5-FU group,  $^{2}$ P<0.01,  $^{3}$ P<0.05.

# 4 讨论

杨梅醇属于环状二芳基庚烷类化合物,在杨梅树皮中含量丰富(达到 0.7%),杨梅醇具有多种生物学活性,包括逆转阿尔茨海默氏病<sup>[8]</sup>、抑制一氧化氮的产生<sup>[9]</sup>、预防肝损伤<sup>[10]</sup>、抗雄激素活性<sup>[11]</sup>、诱导肿瘤细胞凋亡<sup>[12]</sup>等作用。

目前,对杨梅醇的结构修饰仍处于初步研究阶段,而对杨梅醇进行结构修饰用于抗肿瘤的研究仍是一片空白。本课题组通过结构修饰得到了25个杨梅醇衍生物,并获得了相关专利 $^{[13]}$ 。课题组前期研究发现,不同剂量的杨梅醇、5-苄氧基杨梅醇、5FEM及5-对溴苄氧基杨梅醇(3.13~100.0  $\mu$ g·mL $^{-1}$ )对A549、HepG2及HL-60细胞均有明显的抑制作用,并有很好的量效关系,其中5FEM对HL-60细胞抑制作用尤为明显,而对正常细胞HLF1的毒性较5-苄氧基杨梅醇及5-对溴苄氧基杨梅醇小,这为5FEM的进一步开发应用提供了依据。

课题组又运用 RTCA 技术对杨梅醇和 5FEM 的抗人肝癌 HepG<sub>2</sub> 细胞活性进行了评价。RTCA 技术是一种建立在阻抗基础上的瞬时细胞电感应连续记录系统<sup>[14]</sup>,与传统的 MTT 法、同位素掺入法等相比具有无标记、非损伤、自动、实时、连续检测的技术优势,可以全程动态记录处理之后细胞的效应变化,获得效应变化起始时间点,最大效应的时间点等多种信息,适用于细胞生物学研究的各个领域,尤其对肿瘤学研究具有其独特的优势,可应用于肿瘤细胞增殖、迁移、凋亡,以及免疫细胞对肿瘤细胞的杀伤等众多领域,从而进行抗肿瘤药物的筛选。

本研究结果显示,杨梅醇和 5FEM 对  $HepG_2$  细胞的增殖和迁移均有较好的抑制作用,且呈现较好的量效关系,相等剂量下,5FEM 的作用优于杨梅醇,这可能与降低  $HepG_2$  细胞中 caspase-9 和 Bcl-2 基因和蛋白的表达水平,提高 p21 基因和蛋白以及 Bax 蛋白的表达水平相关[1,6-7]。本研究结果为杨梅醇和 5FEM 抗肿瘤新药的进一步研发提供了实验依据,本课题组后续也将继续进行杨梅醇和 5FEM 抗肿瘤作用机制的研究。

#### REFERENCES

- [1] DAI G H, MENG G M, TONG Y L, et al. Growth-inhibiting and apoptosis-inducing activities of myricanol from the bark of Mcarubra in human lung adenocarcinoma A549 cells [J]. Phytomedicine, 2014, 21(11): 1490-1496.
- [2] DAI G H, TONG Y L, REN Z M, et al. Effect of extracts from bark of *Myrica rubra* on resisting human lung adenocarcinoma A549 cells *in vitro* [J]. Chin Arch Tradit Chin Med(中华中医药学刊), 2013, 31(1): 81-82.
- [3] TONG Y L, DAI G H, REN Z M, et al. Inhibition effect of Chloroform extracts from Yangmei(*Myrica Rubra*) bark on lewis lung cancer of mice [J]. Chin J Tradit Med Sci Technol (中国中医药科技), 2016, 23(1): 50-52.
- [4] MOCHIDA K. Anti-influenza virus activity of Myrica rubra leaf ethanol extract evaluated using Madino-Darby canine kidney(MDCK) cells [J]. Biosci, Biotechnol, Biochem, 2008, 72(11): 3018-3020.
- [5] CHEN X, TONG Y L, REN Z M, et al. Effect of myricanone on cell apoptosis and cell cycle in human lung adenocarcinoma A549 cells [J]. Chin J Mod Appl Pharm(中国现代应用药学), 2015, 30(10): 3656-3658.
- [6] DAI G H, TONG Y L, REN Z M, et al. Inhibition effects of myricanol on A549, HL-60 and HepG2 proliferation [J]. Chin J Tradit Med Sci Technol(中国中医药科技), 2016, 23(1): 52-54.
- [7] CHEN X, TONG Y L, REN Z M, et al. Influence of myricanol on expression of Caspase-9, Bcl-2, p21 and Bax in human hepatoma HepG2 cells [J]. China J Tradit Chin Med Pharm(中 华中医药杂志), 2015, 30(10): 3656-3658.
- [8] JONES J R, LEBAR M D, JINWAL U K, et al. The diarylheptanoid (+)-aR, 11S-myricanol and two flavons from bayberry(Myrica cerifera) destabilize the microtubuleassociated protein tau [J]. J Nat Prod, 2011, 74(1): 38-44.
- [9] TAO J, MORIKAWA T, TOGUCHIDA I, et al. Inhibitors of nitric oxide production from the bark of *Myrica rubra*: structures of new biphenyl type diarylheptanoid glycosides and taraxerane type triterpene [J]. Bioorg Med Chem, 2002, 10(12): 4005-4012.
- [10] OHTA S, SAKURAI N, KAMOGAWA A, et al. Protective effects of the bark of *Myrica rubra* Sieb. et Zucc. on experimental liver injuries [J]. Yakugaku Zasshi, 1992, 112(4): 244-252.
- [11] MATSUDA H, YAMAZAKI M, MATSUO K, et al. Anti-androgenic activity of Myricae cortex-isolation of active constituents from bark of *Myrica rubra* [J]. Biol Pharm Bull, 2001, 24(3): 259-263.
- [12] ZHANG J, YAMADA S, OGIHARA E, et al. Biological activities of triterpenoids and phenolic compounds from Myrica cerifera bark [J]. Chem Biodiversit, 2016, 13(11): 1601-1609.
- [13] DAI G H, LI Z H, TONG Y L, et al. Myricanol derivatives and their preparation methods and applications: China, 201510501517.3 [P]. 2017-06-27.
- [14] YAN G J, PEI Y F, ZHU Z H, et al. Research progress in application of real-time cell-based assay(RTCA) [J]. Chin Pharm J(中国药学杂志), 2014, 49(3): 169-173.

收稿日期: 2017-07-24 (本文责编: 蔡珊珊)